

Dy - галогенидов

DY-2000000001 ORTUKE H-41 1953

MacCall W.P., MacCall D.L.,
(S.M.,
K.G.A.G.) U.S. B43-06, X10000000
Xerillor. Texaco., 1959, 2,
N4, 516-521.

$\Delta F(Dy(OH)_{1,75}Cl_{1,25})$ VIII 2675 1960
 $Dy(OH)_2Cl$ $Dy(OH)_{2,5}Cl_{0,5}$
 $Dy(OH)_3$ (ΔE)

Аксельруд Н.В., Спиваковский В.Б.

Ж. неорган. химии, 1960, 5, № 2, 348

Основные хлориды и гидроокись
диспрозия

РЖХим., 1960, 87909

М, В

VIII 2527

1961

ионные хироигос и тироигос
La, Ce, Pr, Nd, Sm, Eu, Gd, Tb, Dy, Ho,
Er, Tm, Yb, Lu, Pm, Y, Sc (T_m)

Wendlandt W.W., Sewell R.G.,

Texas J. sci., 1961, 13, N2, 231-234

Б

прнх, 1962, 9б451

лс76 9.к.

Dy-gnawed specimen

[LA-1544]

1964

Kobayash I.U., Tadzhikistan O.P.,

(LA)

Чеченка ~~ханчак~~ ханчак,
1964, 33, №, 732-747.

Радиоактивны

и радиоактивны

PЗ all-зеленый

стекло окрашено.

VIII 2684

1965

LaOCl, NaOCl, KIOCl, ErOCl, TmOCl,
LuOCl и др. предполож. на-тес. (OH, OS, OG)

Баев А.К., Новиков Г.И.,

Ил. № 2454-2464
Химия, 1965, 10, 2454-2464

M.

СД. 1965, 64, № 3, 2995 б

A-918

1966

Броматы La, Ce, Pr, Nd, Sm, Eu,
Gd, Dy, Ho, Er, Tm, Tb, Lu, Yb, Y
(ΔH_f , $\Delta H_{sol.}$)

Staveley L.A.K., Markham D.R.,
Jones M.R.,

Nature, 1966, 211, N 5054, 1172-1173

M, Ry, B

лесб φ.к.

$\text{Y}(\text{B}_2\text{O}_3)_3 \cdot 9\text{H}_2\text{O}$; $\text{La}(\text{B}_2\text{O}_3)_3 \cdot 9\frac{1}{2}\text{H}_2\text{O}$, 8 1968

$\text{Ce}(\text{B}_2\text{O}_3)_3 \cdot 9\text{H}_2\text{O}$; $\text{Pr}(\text{B}_2\text{O}_3)_3 \cdot 9\text{H}_2\text{O}$; $\text{Nd}(\text{B}_2\text{O}_3)_3 \cdot 9\text{H}_2\text{O}$;

$\text{Sm}(\text{B}_2\text{O}_3)_3 \cdot 9\text{H}_2\text{O}$; $\text{Eu}(\text{B}_2\text{O}_3)_3 \cdot 9\text{H}_2\text{O}$; $\text{Gd}(\text{B}_2\text{O}_3)_3 \cdot 9\text{H}_2\text{O}$;

$\text{Tb}(\text{B}_2\text{O}_3)_3 \cdot 9\text{H}_2\text{O}$; $\text{Dy}(\text{B}_2\text{O}_3)_3 \cdot 9\text{H}_2\text{O}$; $\text{Ho}(\text{B}_2\text{O}_3)_3 \cdot 9\text{H}_2\text{O}$;

$\text{Er}(\text{B}_2\text{O}_3)_3 \cdot 9\text{H}_2\text{O}$; $\text{In}(\text{B}_2\text{O}_3)_3 \cdot 9\text{H}_2\text{O}$. (T_m)

Petržák F., Dušek B.

VIII-649

Collect. Czechoslov. Chem. Commun., 1968, 33, N^o 8, 2597-2604/449

Beiträge zur Chemie der seltenen Elemente III. Thermische Zersetzung von Bromaten der Seltenen Erden.

Praha, 1969

737

(1)

5 (op)

16

Yoko; Ryoko; EzoOe; TmOe; (Lw) 1668
Rm Oe, 3

Vishnevskij, V.F. VIII 3612.

Mexican Univ., Rep 1962 BMFF-EBI-62-
-42, 12pp.

Vesper blakei subsp. cf. ssp.
Laeteburkina (B) Johnson

MO 9

22/10/2019 10:09:36 AM

~~433 417~~ 1969
SmOF, EuOF, GdOF, TbOF, DyOF, YOF (T_b)

Sian D.B., Eick H.A. 591-VIII 924
Inorg. Chem. 1969, 8, N2, 232-235 (auto.)
Phase analysis of Lanthanide oxide
fluorides

10/14/69, 1969

170745

13

○

5 (P)

Dy(3), Dy(OC₂) (DHF, H₂O, Et₂O, O₂) 1963

Verlag F., Wissenschaftsg. V. VII 933

Chem. Ber., 1963, 102, IV, 5-13 (recd. 4)

Die Zampfphasenhydrolyse von Lanthanides
(III)-chloriden. 2. Wärmedönung und Einführung
Energie der Reaktion Dy(3)(f) + H₂O →
→ DyOCl(f) + 2HCl(g). Wärmedönung der
polymorphen Umwandlung β = Dy(3) → Dy(3)

Pfeiffer, 1969

175677

Kar. M, 5 CP

VIII 4434

8

1977

Yi (yuan) (PrOCl, PrOB₃, NdOCl, NdOB₃,
 SmOCl, SmOB₃, EuOCl, EuOB₃, GdOCl,
 GdOB₃, TbOCl, TbOB₃, DyOCl, DyOB₃, HoOB₃,
 ErOCl, ErOB₃, TmOCl, TmOB₃, YbOCl,
 YbOB₃, ZnOCl, ZnOB₃)

Basile L.J., Ferraro J.R., Groner D.I.,
 J. Inorg. and Nucl. Chem., 1971, 33, 1047-
 1053 (with)
 J.R. spectra of several lanthanide
 oxyhalides.

Publ. No. 1971, 185218

30 10

(P)

DyOCl, TbOCl (T_{Heel}) VIII 4439 1974
El malek D., Fruchart D., Goubert J.C.
J. Phys (Paris) Colloq. 1971 (1), (P62), cl,
VII-3 (pp).

Magnetic and neutron-diffraction
study of DyOCl and TbOCl

B (pp) ○ CARRIERS(4), PRECIP.

$\text{Ln OF} \cdot \text{Ln}_4\text{O}_3\text{F}$ ($\text{Ln} = \text{La, Pr, Nd,}$
 $\text{Sm, Eu, Gd, Tb, Dy, Ho, Er,}$
 Tm, Yb, Lu, Y) ($T_{t_2}, \Delta H_{t_2}$)

VIII 54.23

Niihara Reichi; Yajima

Seishi, Bull. Chem. Soc. Jap.; 1972,

45, N1, 20-23

5 (P)

PX72

Ladell, NdOcl, DyOcl (P₂O₅, 4Hf) 3 1973
EuOcl, TmOcl, LuOcl (P₂O₅, 4Hf) VIII 5993

• Тамбуков В.Б., Новиков Т.Н.,
Багровский В.В.

зр. опубл. журн. 1973, 47 (2) 2454 (руб.)
Межевая геодезия
Осадочные породы палеозоя. Вып. 7.

M (C)

+ 8.01.1974. 8012.7405.

Laoce, NdOce, GdOce, DyOce, 1973

EzOce, TuOce, 4uOce (Kp, dH, S, dHf) 3

Гамрикев Ю.Б., Новиков Г.И.
Багровский В.В.

viii 5371

Рекомендован К. ф43. химич "ЯНССР. №1 1973

Рукопись Ден. в ВИНИТИ 3 янв. 1973г.

N5308-73 Ден. Термической оксилорганической
рекомендации

зарегистрировано.

РНН Книги, 1973

ЕСТЛ № 4 (4)

115717

Ex6

$\text{Eu}(\text{ClO}_4)_3 \cdot 8\text{H}_2\text{O}$; $\text{Gd}(\text{ClO}_4)_3 \cdot 8\text{H}_2\text{O}$ | 1973

$\text{Tb}(\text{ClO}_4)_3 \cdot n\text{H}_2\text{O}$; $\text{Dy}(\text{ClO}_4)_3 \cdot 8\text{H}_2\text{O}$; $\text{Ho}(\text{ClO}_4)_3 \cdot 8\text{H}_2\text{O}$.

$\text{Er}(\text{ClO}_4)_3 \cdot 8\text{H}_2\text{O}$; $\text{Lu}(\text{ClO}_4)_3 \cdot 4\text{H}_2\text{O}$ (ΔH_f , ΔH_{az})

Старостин Я.Д., Наукина А.Я.

в VIII 5745
в Б сб. „Материалы Всер. конф. по калориметрии, 1973. Рассеяр. тезисы докл.”

Тбилиси, „Мечникова”, 1973, 307.

Термокалориметрический кристаллогидратов первообразов
оксидных соединений,

РДИ УССР, 1974

2157-91

M, B (9)

Dy OF

1975

Бенгалии H.A.

паморфный

парашиты

переноски

"Докл. АН СССР" 1975
22⁶, N 5, 1112-1114.

(см SeOF; I)

CdCl_2

DyCl_3

1975

PbCl_2

DyCl_3

Buryev B.P.

Mironov V.Z.

(P)

Conf Int. Thermodyn
Chim I.C.R.I 4th 1975
3, 140-7 (Russ)

(all $\text{CdCl}_2 - \text{LnCl}_3$; I

$\text{La}(\text{CeO}_4)_3$, $\text{Pr}(\text{CeO}_4)_3$, $\text{Nd}(\text{CeO}_4)_3$, $\text{Sm}(\text{CeO}_4)_3$,] 1975

$\text{Gd}(\text{CeO}_4)_3$, $\text{Eu}(\text{CeO}_4)_3$, $\text{Tb}(\text{CeO}_4)_3$, $\text{Dy}(\text{CeO}_4)_3$, $\text{Ho}(\text{CeO}_4)_3$,
 $\text{Er}(\text{CeO}_4)_3$, $\text{Tm}(\text{CeO}_4)_3$, $\text{Yb}(\text{CeO}_4)_3$, $\text{Lu}(\text{CeO}_4)_3 (\text{Paq})$

Spedding F.H., Baker J.L., Walters J.P.

J. Chem. and Eng. Data, 1973, 20; N2, 189-195/

Apparent and partial molar heat capacities
of aqueous rare earth perchlorate solutions
at 25°C.

XVIII - 291

B CP

PHILIPS, 1975

905850

$\text{Dy}_2\text{O}_3 \cdot \text{WO}_3$

1975

Voskimura N.
Sibende F.

(T_{tr})

Rev. Int Hautes Temp
Refract 1975, 12(3)
215-19 (eng)

(all $\text{La}_2\text{O}_3 \cdot \text{WO}_3$; 1)

60204.4335

TC,Ch.

Dy 29932

Комплексы с Hal 3709

1975

3709

3971

Moulin N., Hussonnois M., Brillard L.,
Guillaumont R. Fonctions thermodynamiques de complexes halogénés de Sm, Eu,
Gd, Tb et Dy. "J.Inorg.and Nucl.Chem.",
1975, 37, N 12, 2521-2524

5.523
(франц., рез. англ.)

0545
ВИНИТИ

524 525

537

Dy(ClO₄)₃ 1975
Speedling F.H., a.g.
J. Chem and Eng. Data,
Cp(aq) 1975, 20, N2, 189-195

• (ac₂Zn(ClO₄)₃ : 21)

$\text{Dy}(\text{ClO}_4)_3$

1974

Spedding F.H. et al.

(4Hag) J. Chem. Eng. Data
1974, 22 (2), 142-53

•
recr. $\text{La}(\text{ClO}_4)_3$; I

Dy(II)-H₂O XVIII-7286 1979

Усубалиев Дж. и др.

8 Всесоюзная конференция по
калориметрии и химической
термодинамике. 25-27 сентября
1979 г. Иваново.

Тезисы докладов, стр. 54.

ΔH_f°

1980

DyF₃-Dy₂O₃

94: 163435a The system dysprosium fluoride-dysprosium oxide. De Kozak, Ariel; Samouel, Maurice; Erb, Alfred (Lab. Chim. Miner., Univ. Pierre-et-Marie-Curie, 75230 Paris, 05 Fr.). *Rev. Chim. Miner.* 1980, 17(5), 440-4 (Fr). The phase diagram of the DyF₃-Dy₂O₃ system was studied by DTA. The diagram showed 4 solid phases: DyOF and 3 solid solns. The crystal symmetry and the cell parameters for each phase were detd. by x-ray diffraction anal. H. C. Barlow

spagobas
guaeplacida

C.A.1981.G4N120

DyOBr

Lommereea 8812 / 1980

Hölsä et al.

термост.
стабильн.

Thermochim. acta
1980, 35, 79-83.

Dy OF

1982

Бонак Г.М., Левицкий В.А.

и др.

9 Всея. конф. по колоримет-
рии и хим. Термоэлектрич.,
Тбилиси, 14-16 сенбр., 1982.

Россииер. Тез. докт. Тбилиси,
1982, 338 - 340.

(ав. YOF; ?)

DyOF

1985

103: 184748z Thermodynamic properties of dysprosium and erbium oxyfluorides. Balak, G. M.; Skolis, Yu. Ya.; Zvezdina, I. M.; Levitskii, V. A.; Gerasimov, Ya. I. (Khim. Fak., Mosk. Gos. Univ., Moscow, USSR). *Zh. Fiz. Khim.* 1985, 59(9), 2309-11 (Russ). Emf. measurements were used to det. the thermodyn. characteristics of formation (from oxides) of DyOF and ErOF. These compds. are in equil. with their oxides at room temp. as well as at 1124-1377 K.

(Δ_fH)

(+) ErOF



C.A. 1985, 103, N 22

Оксифториды Dy

1985

2 Б3044. Термодинамические свойства оксифторидов диспрозия и эрбия. Балак Г. М., Сколис Ю. Я., Звездина И. М., Левицкий В. А., Герасимов Я. И. | «Ж. физ. химии», 1985, 59, № 9, 2309—2311

Из т-рых зависимостей э. д. с. ячеек с тв. F⁻-ионным электролитом O₂, Pt| (CaO, CaF₂|CaF₂|R₂O₃, ROF|PtO₂, (R=Dy, Er) определены термодинамич. св-ва оксифторидов ROF: $\Delta G^{\circ}_{\text{фуоф}} (\pm 2,5) = -1181,7 + 158,0 \cdot 10^{-3} T$ кДж/моль; $\Delta G^{\circ}_{\text{тгоф}} (\pm 2,0) = -1187,5 + 156,2 \cdot 10^{-3} T$, кДж/моль. На основании результатов электрохим. измерений, рентгенофазового и хим. анализа установлено, что оксифториды ROF равновесно сосуществуют с оксидами R₂O₃ как при комн., так и при повышенной т-ре (1124—1377 К).

Автореферат

термодин-
св-ва

Х. 1986, 19, № 2

(4) ~~21~~



Оксифториды Er

Dy(BrO₃)₃ · 9H₂O

1985

14 Б3008. Магнитное упорядочение в Dy(BrO₃)₃ · 9H₂O и Tb(BrO₃)₃ · 9H₂O. Magnetic ordering in Dy(BrO₃)₃ · 9H₂O and Tb(BrO₃)₃ · 9H₂O. Simizu S., Bellesis G. H., Friedberg S. A. «J. Magn. and Magn. Mater.», 1986, 54—57, Pt 3: Proc. Int. Conf. Magn., San Francisco, Calif., 26—30 Aug., 1985. Pt 3, 1331—1332 (англ.)

Теплоемкость C_p Dy(BrO₃)₃ · 9H₂O (I) и Tb(BrO₃)₃ · 9H₂O (II) с псевдогексагон. структурой определена в интервале т-р 0,09—0,5 К с целью выяснения термодинамич. особенностей ферромагнитного упорядочения. Обнаружена λ -аномалия C_p (I) при т-ре Кюри 0,161 К. Характер упорядочения в I сходен с ранее наблюдавшимся в R(C₂H₅SO₄)₃ · 9H₂O и связан с расщеплением основного состояния иона Dy³⁺ в окружении молекул воды, а нек-рое отличие определяется понижением симметрии крист. поля в броматах. C_p (II) характеризует-

Cp, T_{Кюри}

(*h*)
10

X. 1986, 19, N 14

ся быстрым подъемом при $T \sim 0,11$ К с широким максимумом при 0,5 К. Эта аномалия типа Шоттки отражает заселение уровней возбужденного синглетного состояния иона Tb^{3+} , $\Delta/k \approx 1,5$ К. Упорядочение в II связывается с ядерно-электронным взаимодействием при $T = 0,125$ К.

Л. А. Резницкий

DyDF(k)

Звездинка Л. И.

1985

Сборник и физико-хим-
ической св-ва фотоп-
членодатов настакнов.

Ht-H298j Стандартные физико-
химические на стеклян-
ные временные емкости
K.-X.-H.,
Москва, 1985.

DyOF

1986

17 Б3028. Определение термодинамических характеристик оксифторидов диспрозия и иттербия методом высокотемпературной дифференциальной калориметрии. Воробьев А. Ф., Лазарев В. М., Звездина И. М. «Термодинам. и материаловед. полупроводников. 3 Всес. конф., май, 1986. Тез. докл. Т. 2». М., 1986, 126—127.

Сообщается об измерении энталпии DyOF и YbOF (I) методом смешения в интервале т-р 298—760 К и об определении их $\Delta_f H$ из измерений теплот р-рения в расплаве $3\text{Na}_2\text{O}\cdot 4\text{MoO}_3$. Для I приведено значение $\Delta_f H_{923}^0 = 1161,7 \pm 4,4$ кДж/моль. А. С. Гузей

H-H, ΔHf;

(4). 18

X. 1986, 19, N 17

DyOg

1991

10 В6. Термографическое исследование процесса получения оксоидида диспрозия / Тарапов А. В., Дударева А. Г. // Ж. неорган. химии.— 1991.— 36, № 1.— С. 44—46.— Рус.

Методами ДТА, РФА, кристаллооптич. и хим. анализов проведено термографич. исследование процесса образования оксоидида диспрозия по р-ции: $Dy + Dy_2O_3 + \frac{3}{2}I_2 = 3DyOI$. Термограмма показала, что процесс синтеза по этой р-ции протекает ступенчато через образование иодида металла при $160—240^\circ C$ и последующее его взаимодействие в интервале $340—400^\circ C$ с оксидом металла с образованием конечного продукта — оксоидида диспрозия.

Резюме

X. 1991, N 10

DyDF

1993

Petze P T, Marx V., et al.,

g. Alloys Compd. 1993,
200 (1-2), 27-81.

$\Delta_{\text{f}, \text{H}}$

$\Delta_{\text{f}, \text{S}}$

/all.

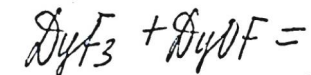
(LaDF; \bar{I})

DyF₃ - Dy₂O₃

1996

125: 68908g High-temperature mass spectrometric study of the vaporization processes in the LaF_3 -Dy₂O₃ system. Stolyarova, V. L.; Seetharaman, S. (Div. Theor. Metall., R. Inst. Technol., S-100 44 Stockholm, Swed.). *Rapid Commun. Mass Spectrom.* 1996, 10(7), 781-789 (Eng). The high-temp. Knudsen effusion method was used to study the vaporization processes in the DyF₃-Dy₃O₃ system at 1357 ± 5 K. The following ions were identified in the mass spectra of the vapor over the system studied: DyF₃⁺, DyF₂⁺, DyF⁺, Dy⁺, DyOF⁺, DyO⁺ as well as insignificant quantities of the Dy₂F₅⁺, Dy₂OF₄⁺, Dy₂OF₃⁺ and F⁺ ions. Anal. of the vapor mass spectra over the compns. contg. 0.95; 0.85; 0.60; 0.40; 0.25; 0.10 mol fractions of DyF₃ was carried out. The data obtained indicate that DyOF, DyF₃ and Dy₂OF₄ mols. are the main vapor species over the DyF₃-Dy₂O₃ system.

C.A.1996, 125, n 6



mass curves
Knudsen

(P, f_p)

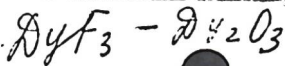
DyF₃

T = 1357 ± 5 K



20 Nov. 1992

127: 127247g Mass spectrometric study of the vaporization processes and thermodynamic properties in the $\text{DyF}_3 - \text{Dy}_2\text{O}_3$ system. Stolyarova, V.L.; Seetharaman, S. (Division of Theoretical Metallurgy, Royal Institute of Technology, S-100 44 Stockholm, Swed.). *Rare Earths: Sci. Technol. Appl.* III 1997, 23–33 (Eng). Edited by Bustista, Renato G. Minerals, Metals & Materials Society: Warrendale, Pa. The high-temp. Knudsen effusion method was used to study partial pressures of vapor species, activities of components and the Gibbs free energies in the $\text{DyF}_3 - \text{Dy}_2\text{O}_3$ system at the temp. (1357 ± 5) K. Partial pressures of vapor species were obtained by the ion current comparison method, with the DyF_3 partial vapor pressure over pure DyF_3 as a std. The equil. const. of the gaseous reaction $\text{DyF}_3 + \text{DyOF} = \text{Dy}_2\text{OF}_4$ is evaluated. Thermodn. data obtained are in agreement with the available phase diagram of the $\text{DyF}_3 - \text{Dy}_2\text{O}_3$ system. Results of the present study illustrate the neg. deviations from the ideal behavior in the system.



(gray · gray ·)

(Om. 42 007)

2004

Saloni J. et al.

K/M изучение DyX , DyX_2 и DyX_3
($X = \text{F}, \text{Cl}, \text{Br}, \text{I}$) и предположительный
месс-спектр изв. DyX_3 (Палана, Германия, АИИА)
Eur. J. Inorg. Chem., 2004, p. 1212 - 1218
(х/к Талло 2 $\stackrel{\text{ст}}{=}$ ср. !)